

УДК 535.2

МАЛОПЕРИОДНЫЕ ДВУХЧАСТОТНЫЕ СВЕТОВЫЕ ПУЛИ ПРИ РАССТРОЙКАХ ФАЗОВЫХ И ГРУППОВЫХ СКОРОСТЕЙ

© 2024 г. А. А. Калинович¹, К. В. Кошкин^{1,*}, М. В. Комиссарова¹

¹Федеральное государственное образовательное учреждение высшего образования
«Московский государственный университет имени М.В. Ломоносова», Москва, Россия

*E-mail: koshkin.kv19@physics.msu.ru

Поступила в редакцию 15.07.2024

После доработки 19.08.2024

Принята к публикации 30.08.2024

С помощью численного моделирования показана возможность формирования (2D+1) малопериодных (3–5 осцилляций под огибающей) световых пуль в нецентросимметричных средах при генерации второй гармоники и наличии расстроек фазовых и групповых скоростей. Продемонстрировано, что кубическая нелинейность не препятствует формированию пространственно-временных солитонов лишь до определенных значений интенсивности.

Ключевые слова: малоцикловая, световая пуля, солитон

DOI: 10.31857/S0367676524120067, **EDN:** EXDEAB

ВВЕДЕНИЕ

Одновременное линейное расплывание оптических импульсов из-за дисперсии и дифракции может компенсироваться нелинейными эффектами. Это приводит к образованию и распространению световых пуль в средах с различной нелинейностью. Тип нелинейности играет ключевую роль в стабильности пространственно-временных солитонов. Известно, что пространственно-временные солитоны (ПВС) неустойчивы в среде с кубической нелинейностью. В среде же с квадратичной нелинейностью даже при небольших расстройках фазовых и групповых скоростей могут формироваться и распространяться устойчивые двухцветные световые пули [1–6].

Кубическая нелинейность свойственна не только центросимметричным кристаллам, но и кристаллам, не обладающим центром симметрии. Эта нелинейность становится существенной, сравнимой с основной нелинейностью второго порядка лишь при высокой интенсивности входного сигнала. Кубическая нелинейность оказывает значительное влияние на генерацию второй гармоники (ГВГ), снижая эффективность ГВГ, и на поведение пучков света в среде. В среде с квадратичной и кубической нелинейностью наблюдаются два типа трехчастотных солитонов [7]. Для их возникновения необходимы определенные соотношения между коэффициентами дисперсии групповой скорости (ДГС), нелинейности и частотами волн.

Благодаря развитию волоконно-оптической связи, область квадратично-кубической нелинейности

стала предметом пристального изучения. Анализ пространственно-временных эффектов для комбинированной нелинейности является сложной задачей, так как конкуренция между двумя нелинейностями может иметь решающее значение. Например, в экспериментальной работе [8] с кристаллом бета-бората бария, который обладает заметной кубической нелинейностью, были обнаружены самосжимающиеся пространственно-временные солитоны.

В отличие от квазимонохроматических ПВС, малопериодные световые пули на комбинированной нелинейности исследованы в меньшей степени. Настоящая работа посвящена исследованию возможности формирования малопериодных ПВС при учете эффектов высшего порядка, таких как дисперсия третьего порядка, дисперсия нелинейности и т. д.

ОСНОВНЫЕ УРАВНЕНИЯ

В книге [9] для описания распространения ультракороткого импульса длительностью меньше одной пикосекунды вводится обобщенное многомерное нелинейное уравнение Шредингера, которое учитывает линейные эффекты высших порядков, таких как дисперсия третьего порядка и дисперсия дифракции. В работе [10] выведены уравнения, описывающие процесс генерации второй гармоники предельно короткими импульсами с учетом дисперсии нелинейности. По аналогии с методами [9, 10], можно записать систему квазиоптических уравнений, описывающую распространение малопериодного

импульса в среде со смешанной квадратично-кубичной нелинейностью:

$$\begin{aligned} i\left(\frac{\partial A_1}{\partial z} + \delta \frac{\partial A_1}{\partial \tau}\right) &= \frac{-\beta_1}{2} \frac{\partial^2 A_1}{\partial \tau^2} + i \frac{\gamma_1}{6} \frac{\partial^3 A_1}{\partial \tau^3} + \\ &+ (a_1 A_1^* A_2 + i b_1 \frac{\partial}{\partial \tau} (A_1^* A_2)) e^{i \Delta k z} + \\ &+ \frac{c}{2n_1 \omega} \frac{\partial^2 A_1}{\partial x^2} - i \frac{c}{2n_1 \omega^2} \frac{\partial}{\partial \tau} \frac{\partial^2 A_1}{\partial x^2} + \\ &+ A_1 (g_{11} |A_1|^2 + g_{12} |A_2|^2); \end{aligned} \quad (1)$$

$$\begin{aligned} i\left(\frac{\partial A_2}{\partial z} - \delta \frac{\partial A_2}{\partial \tau}\right) &= \frac{-\beta_2}{2} \frac{\partial^2 A_2}{\partial \tau^2} + i \frac{\gamma_2}{6} \frac{\partial^3 A_2}{\partial \tau^3} + \\ &+ (a_2 A_1^2 + i b_2 \frac{\partial}{\partial \tau} (A_1^2)) e^{-i \Delta k z} + \\ &+ \frac{c}{4n_2 \omega} \frac{\partial^2 A_2}{\partial x^2} - i \frac{c}{8n_2 \omega^2} \frac{\partial}{\partial \tau} \frac{\partial^2 A_2}{\partial x^2} + \\ &+ A_2 (g_{21} |A_1|^2 + g_{22} |A_2|^2); \end{aligned} \quad (2)$$

В (1)–(2) A_1 и A_2 – медленно меняющиеся огибающие электрического поля импульса на основной частоте и на частоте второй гармоники, соответственно, $\tau = t - \frac{z}{2} \left(\frac{1}{v_{g2}} + \frac{1}{v_{g1}} \right)$ – время, z – направление распространения, $v_{g1,2}$ – групповая скорость на основной и удвоенной частотах, $\delta = \left(\frac{1}{v_{g1}} - \frac{1}{v_{g2}} \right)$ –

групповая расстройка, $\beta_{1,2} = \frac{\partial^2 k_{1,2}}{\partial \omega^2}$ – коэффициенты ДГС, $\gamma_{1,2} = \frac{\partial^3 k_{1,2}}{\partial \omega^3}$ – коэффициенты дисперсии третьего порядка (ДТП), $k_{1,2}$ – волновые числа, $\Delta k = 2k_1 - k_2$ – расстройка фазовых скоростей, $a_1 = \frac{4\pi\omega}{cn_1} \chi^{(2)}(2\omega; -\omega)$, $a_2 = \frac{8\pi\omega}{cn_2} \chi^{(2)}(\omega; \omega)$, $g_{11} = \frac{3\pi\omega}{2cn_1} \chi^{(3)}(\omega; \omega; -\omega)$, $g_{12} = \frac{3\pi\omega}{cn_1} \chi^{(3)}(\omega; 2\omega; -2\omega)$, $g_{21} = \frac{6\pi\omega}{cn_2} \chi^{(3)}(2\omega; \omega; -\omega)$, $g_{22} = \frac{3\pi\omega}{cn_2} \chi^{(3)}(2\omega; 2\omega; -2\omega)$ – коэффициенты нелинейности,

$$\begin{aligned} b_1 &= \frac{4\pi}{cn_1} \left(\chi^{(2)}(2\omega; -\omega) + \omega \frac{\partial \chi^{(2)}}{\partial \omega}(2\omega; -\omega) \right), \\ b_2 &= \frac{8\pi}{cn_2} \left(\chi^{(2)}(\omega; \omega) + \omega \frac{\partial \chi^{(2)}}{\partial \omega}(\omega; \omega) \right) \end{aligned}$$

коэффициенты дисперсии нелинейности, $n_{1,2}$ – показатели преломления, $\chi^{(2)}(\omega, \omega), \chi^{(2)}(2\omega, -\omega)$ – восприимчивости, индекс $i = 1$ относится к параметрам импульса на основной частоте, а $i = 2$ – на второй гармонике. В систему уравнений (1)–(2) для импульсов фемтосекундной включены такие эффекты высших порядков как: дисперсия третьего порядка, дисперсия квадратичной нелинейности, пространственно-временная фокусировка и керровская нелинейность (второе, четвертое, шестое и седьмое слагаемые в правой части системы соответственно).

(1) При распространении квазимохроматического импульса пикосекундной длительности влиянием этих эффектов обычно пренебрегают ввиду их относительной малости, а наличием в кристалле керровской нелинейности – ввиду малой интенсивности сигнала. Роль слагаемого, содержащего смешанные пространственно-временные производные и ответственного за эффект пространственно-временной фокусировки, была отмечена в главе 7 книги [9].

БЕЗРАЗМЕРНАЯ СИСТЕМА УРАВНЕНИЙ

Для проведения численного эксперимента в системе (1)–(2) продольная координата нормируется на квадратичную нелинейную длину, поперечная координата – на поперечный размер входного пучка, а время на длительность импульса на входе в среду:

$$\begin{aligned} i \frac{\partial \Psi_1}{\partial \bar{z}} + i \bar{\delta} \frac{\partial \Psi_1}{\partial \bar{\tau}} &= \frac{-D_{\beta 1}}{2} \frac{\partial^2 \Psi_1}{\partial \bar{\tau}^2} + \frac{i D_{\gamma 1}}{6} \frac{\partial^3 \Psi_1}{\partial \bar{\tau}^3} + \\ &+ \left(\Psi_1^* \Psi_2 - i D_{b1} \frac{\partial (\Psi_1^* \Psi_2)}{\partial \bar{\tau}} \right) e^{i \bar{\Delta k} \bar{z}} + D_{c1} \frac{\partial^2 \Psi_1}{\partial \bar{x}^2} - \\ &- i D_{c2} \frac{\partial}{\partial \bar{\tau}} \frac{\partial^2 \Psi_1}{\partial \bar{x}^2} + \Psi_1 (D_{11} |\Psi_1|^2 + D_{12} |\Psi_2|^2); \end{aligned} \quad (3)$$

$$\begin{aligned} i \frac{\partial \Psi_2}{\partial \bar{z}} - i \bar{\delta} \frac{\partial \Psi_2}{\partial \bar{\tau}} &= \frac{-D_{\beta 2}}{2} \frac{\partial^2 \Psi_2}{\partial \bar{\tau}^2} + \frac{i D_{\gamma 2}}{6} \frac{\partial^3 \Psi_2}{\partial \bar{\tau}^3} + \\ &+ \left(\eta \Psi_1^2 - i D_{b2} \frac{\partial \Psi_1^2}{\partial \bar{\tau}} \right) e^{-i \bar{\Delta k} \bar{z}} + \frac{D_{c2}}{2} \frac{\partial^2 \Psi_2}{\partial \bar{x}^2} - \\ &- i \frac{D_{c2}}{4} \frac{\partial}{\partial \bar{\tau}} \frac{\partial^2 \Psi_2}{\partial \bar{x}^2} + \Psi_2 (D_{21} |\Psi_1|^2 + D_{22} |\Psi_2|^2); \end{aligned} \quad (4)$$

Здесь $\Psi_{1,2} = \frac{A_{1,2}}{A_{in}}$, $\bar{z} = \frac{z}{l_{nl}}$, $l_{nl} = \frac{1}{a_1 A_{in}}$, $D_{\beta_{1,2}} = \frac{\beta_{1,2} l_{nl}}{2 \tau_{in}^2}$,

$$D_{\gamma_{1,2}} = \frac{\gamma_{1,2} l_{nl}}{6 \tau_{in}^3}, \quad \bar{\tau} = \frac{\tau}{\tau_{in}}, \quad \bar{x} = \frac{x}{R_{in}}, \quad \eta = \frac{n_2 \chi^{(2)}(2\omega)}{2n_1 \chi^{(2)}(\omega)},$$

$$D_{11} = \frac{g_{11} A_{in}}{a_1}, \quad D_{b1} = \frac{1}{N} \frac{\chi^{(2)}(\omega) + \omega \frac{\partial \chi^{(2)}}{\partial \omega}(\omega)}{\chi^{(2)}(\omega)},$$

$$D_{b_2} = \frac{\eta}{N} \frac{\chi^{(2)}_{(2\omega)} + \omega \frac{\partial \chi^{(2)}_{(2\omega)}}{\partial \omega}}{\chi^{(2)}_{(2\omega)}}, D_{c_1} = \frac{cl_{nl}}{2\omega n_1 R_{in}^2},$$

$$D_{c_2} = \frac{cl_{nl}}{2\omega^2 n_1 R_{in}^2 \tau_{in}}, \bar{\Delta k} = l_{nl} \Delta k, \bar{\delta} = \frac{\delta l_{nl}}{\tau_{in}} -,$$

расстройка групповых скоростей, $N \approx \omega \tau_{in}$ — число колебаний поля под огибающей сигнала, A_{in} — начальная пиковая амплитуда на основной частоте, R_{in} — начальная ширина импульса, τ_{in} — начальная длительность импульса, $D_{l1} > 0$, — фокусирующая нелинейность, $D_{l1} < 0$ — дефокусирующая.

На вход в среду ($\bar{z} = 0$) подаются компоненты на обеих частотах, имеющие гауссовскую огибающую:

$$\psi_1 = E_1 \exp[-\bar{x}^2 - \bar{\tau}^2], \psi_2 = E_2 \exp[-\bar{x}^2 - \bar{\tau}^2]. \quad (5)$$

Для решаемой численно системы уравнений (3)–(4) в условиях синхронизма фазовых и групповых скоростей нами ранее [2] были найдены следующие оптимальные безразмерные параметры, при которых пучок гауссовой формы распространяется в «дышащем» режиме: $D_{\beta 1} = -0.1$, $D_{\beta 2} = -0.2$, $D_{\gamma 1} = \frac{D_{\beta 1}}{N}$, $D_{c 1} = 0.1$, $D_{c 2} = \frac{D_{c 1}}{N}$, $\eta = 0.5$, $D_{c 2} = 0.01$, $D_{b 1} = \frac{1}{N}$, $D_{b 2} = \frac{\eta}{N}$, $E_1 = 1$, $E_2 = 0.5$. Под «дышащим» режимом понимается наличие осцилляций параметров солитона, таких как интенсивность, длительность. В данной работе мы отталкиваемся от приведенных оптимальных значений безразмерных коэффициентов, постепенно увеличивая безразмерные коэффициенты групповых и фазовых расстроек, а также добавляя кубичную нелинейность, считая взаимодействие по прежнему двухчастотным.

Проведем некоторые оценки допустимых значений коэффициентов. Для многих нелинейных анизотропных кристаллов, например LiNbO_3 , ДГС и ДТП в диапазоне прозрачности можно оценить по формуле Зельмейера [11]. В области частот $\omega \sim 10^{15}$ Гц ДГС может быть отрицательной. При длительности импульса $\tau_{in} \sim 10^{-14}$ с для кристалла ниобата лития в случае длин волн $\lambda \approx 1 \text{ мкм}$ ($\omega \approx 10^{15}$ Гц), $|\beta_1(\omega)| \approx 10^{-27} - 10^{-26} \frac{\text{см}}{\text{см}}$. В этом диапазоне длин волн расстройки фазовых скоростей $\Delta k \sim 0.1 \text{ мкм}^{-1}$, а характерные длины имеют следующие величины: длина группового запаздывания $l_g = \frac{\tau_{in}}{|\delta|} \approx 10 \text{ мкм}$, дисперсионная длина второго порядка $l_{dis} = \frac{\tau^2}{|\beta_1(\omega)|} \approx 100 \text{ мкм}$, дисперсионная длина третьего порядка $l_{dis3} = \frac{\tau^3}{|\gamma_1(\omega)|} \approx 150 \text{ мкм}$.

Если $l_{dis} \approx 5 - 10 l_{nl2}$, то нелинейная длина второго

порядка $l_{nl2} = \frac{1}{A_{in} a_1} \approx 10 \text{ мкм}$. Тогда интенсивность $I \approx 10^{12} - 10^{13} \text{ Вт/см}^2$. Безразмерный коэффициент, отвечающий за кубичную нелинейность в таком случае $D_{l1} \approx \frac{\chi^{(3)} A_{in}}{\chi^{(2)}} \approx 1$.

РЕЗУЛЬТАТЫ ЧИСЛЕННОГО МОДЕЛИРОВАНИЯ

На первом этапе численные эксперименты мы проводим с учетом только квадратичной нелинейности. В таком случае при условии фазового синхронизма и оптимального набора параметров формируется устойчивая световая пулья при осцилляции интенсивностей обеих гармоник по мере распространения в среде [2]. Зафиксировав расстройку групповых скоростей $\delta = 0$, постепенно увеличиваем расстройку фазовых скоростей. Удаётся найти диапазон значений безразмерного коэффициента $\bar{\Delta k}$, при котором пулья остается устойчивой. На рис. 1а представлены зависимости интенсивности сигнала (при $\bar{\delta} = 0$ и $N=10$) на основной частоте для разных значений $\bar{\Delta k}$. Так, при значениях $\bar{\Delta k} < 0.8$ наблюдается «дышащий» режим распространения, форма огибающей сигнала остается практически неизменной.

При уменьшении числа осцилляций до $N=5$, эффекты высшего порядка возрастают в два раза. Продолжая ряд экспериментов, находим, что при значениях вплоть до $\bar{\Delta k} = \bar{\delta} = 0.25$ (рис. 1б) формируется световая пулья, однако при больших значениях устойчивого режима не наблюдается.

Далее мы уменьшаем число осцилляций под огибающей до $N=3$ (рис. 2а). Предельное значение расстроек фазовых и групповых скоростей, при которых может сформироваться световая пулья $\bar{\delta} = \bar{\Delta k} = 0.2$. Фактически, это иллюстрирует возрастающую роль эффектов высших порядков.

Рассмотрим случай, когда дисперсия групповой скорости отсутствует на частоте второй гармоники. Такой случай сравнительно проще реализовать в реальных кристаллах. Так как теперь нарушено оптимальное соотношение между коэффициентами ДГС, формирование световых пуль становится возможным только в условиях фазового синхронизма, так как даже при сравнительно небольших расстройках $\bar{\Delta k} = \bar{\delta} = 0.1$ световая пулья заметно уширивается по поперечной и продольной координате, а интенсивность заметно убывает, как показано на рис. 2б.

Напомним, что после перехода к безразмерной системе коэффициентов нами исходя из оптимальных безразмерных параметров были приведены оценки допустимых значений параметров системы (3)–(4). При увеличении интенсивности входного

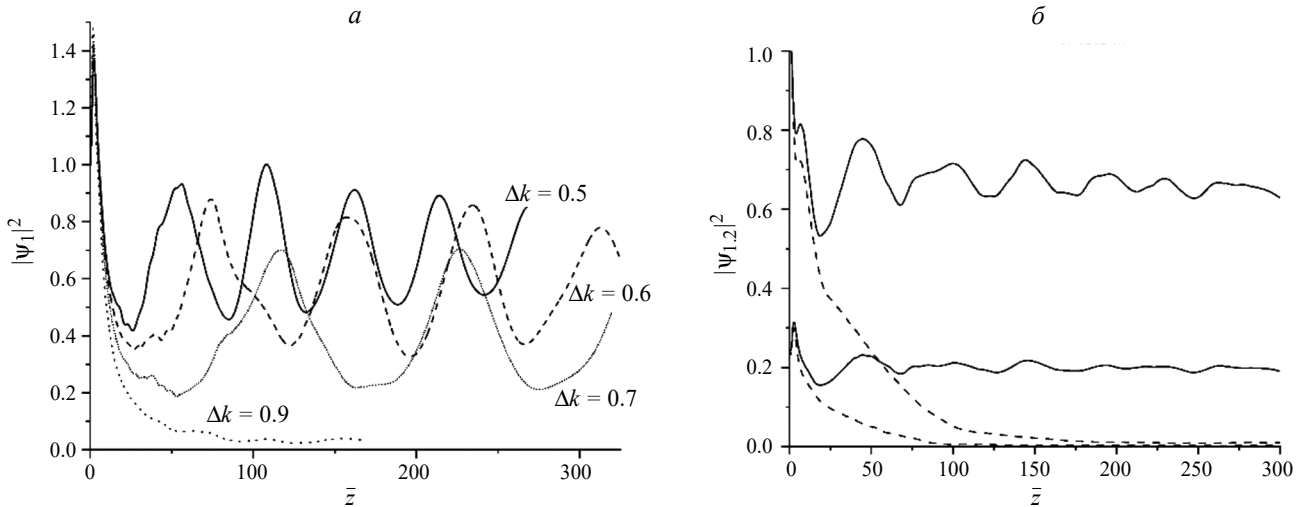


Рис. 1. Зависимости пиковых интенсивностей сигнала на основной частоте $|\psi_1|^2$ от продольной координаты \bar{z} (а) при $N=10$, $D_{\beta 1} = -0.1$, $D_{\beta 2} = -0.2$, $D_{c1} = 0.1$, $D_{c2} = 0.01$, $D_{b1} = 0.1$, $D_{b2} = 0.05$, $\delta = 0$ и различных значениях безразмерной фазовой расстройки: $\Delta k = 0.5$, $\Delta k = 0.6$ (пунктир), $\Delta k = 0.7$ (короткий пунктир), $\Delta k = 0.9$ (точечный пунктир). Зависимости пиковых интенсивностей сигнала на основной и удвоенной частотах $|\psi_{1,2}|^2$ от продольной координаты \bar{z} (б) при $N=5$, $D_{\beta 1} = -0.1$, $D_{\beta 2} = -0.2$, $D_{\gamma 1} = 0.02$, $D_{\gamma 2} = 0.04$, $D_{c1} = 0.1$, $D_{c2} = 0.02$, $D_{b1} = 0.2$, $D_{b2} = 0.1$, $\delta = \Delta k = 0.25$ (сплошные), $\delta = \Delta k = 0.28$ (пунктир).

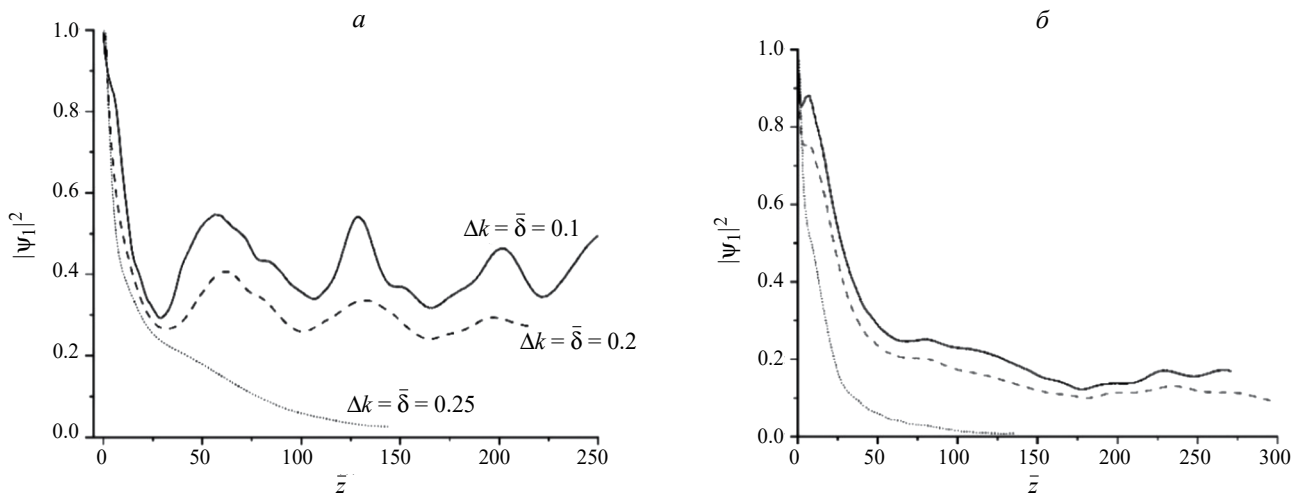


Рис. 2. Зависимости пиковых интенсивностей сигнала на основной частоте $|\psi_1|^2$ от продольной координаты \bar{z} (а) при $N=3$, $D_{\beta 1} = -0.1$, $D_{\beta 2} = -0.2$, $D_{c1} = 0.1$, $D_{c2} = 0.0333$, $D_{b1} = 0.333$, $D_{b2} = 0.166$, $\delta = \Delta k$ и различных значениях безразмерной фазовой расстройки: $\Delta k = 0.1$ (сплошная), $\Delta k = 0.2$ (пунктир), $\Delta k = 0.25$ (короткий пунктир). Зависимости пиковых интенсивностей сигнала на основной частоте $|\psi_1|^2$ от продольной координаты \bar{z} (б) при $N=5$, $D_{\beta 1} = -0.1$, $D_{\beta 2} = 0$, $D_{c1} = 0.1$, $D_{c2} = 0.02$, $D_{b1} = 0.2$, $D_{b2} = 0.1$, $\delta = 0.1$ и различных значениях безразмерной фазовой расстройки: $\Delta k = 0$ (сплошная), $\Delta k = 0.1$ (пунктир), $\Delta k = 0.25$ (короткий пунктир).

импульса возрастает безразмерный коэффициент, ответственный за наличие кубичной нелинейности

$D_{11} \approx \frac{\chi^{(3)} A_{in}}{\chi^{(2)}}$. Поэтому на следующем этапе мы учитываем коэффициент D_{11} , выбирая коэффициенты, равные $D_{11} = 0.1$, $\bar{\delta} = \Delta k = 0.1$ (рис. 3а), $\bar{\delta} = \Delta k = 0.2$ (сплошные), $\bar{\delta} = \Delta k = 0.3$ (пунктир) (рис. 3б). В обоих случаях заметнее становится начальная компрессия солитона, однако во последнем случае световая пуля не формируется. Увеличение фазовых и групповых

расстроек приводит к уменьшению средней интенсивности световой пули.

При увеличении коэффициента кубичной нелинейности до $D_{11} = 0.15$ существенных отличий не наблюдается. Для сравнения на рис. 4а и 4б приведены четыре случая с разным значением коэффициента D_{11} . При дальнейшем увеличении до значения $D_{11} = 0.5$ наблюдается сильная самокомпрессия после прохождения всего двух-трех нелинейных длин, после чего световая пуля не формируется.

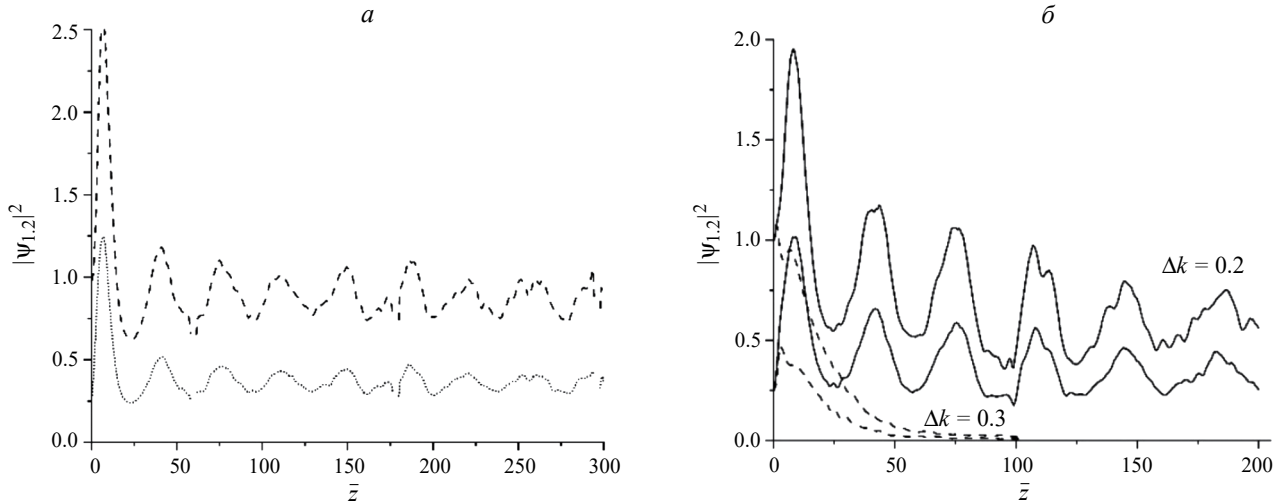


Рис. 3. Зависимости пиковых интенсивностей сигнала на основной и удвоенной частотах $|\Psi_{1,2}|^2$ от продольной координаты \bar{z} при наличии кубической нелинейности (а); $N=5$, $D_{\beta 1} = -0.1$, $D_{\beta 2} = -0.2$, $D_{c1} = 0.1$, $D_{c2} = 0.02$, $D_{b1} = 0.2$, $D_{b2} = 0.1$, $D_{11} = 0.1$, $\delta = \Delta k = 0.1$. Зависимости пиковых интенсивностей сигнала на основной и удвоенной частотах $|\Psi_{1,2}|^2$ от продольной координаты \bar{z} (б) при $N=5$, $D_{\beta 1} = -0.1$, $D_{\beta 2} = -0.2$, $D_{c1} = 0.1$, $D_{c2} = 0.02$, $D_{b1} = 0.2$, $D_{b2} = 0.1$, $\delta = \Delta k$ и различных значениях безразмерной фазовой расстройки: $\Delta k = 0.2$ (сплошные), $\Delta k = 0.3$ (пунктир).

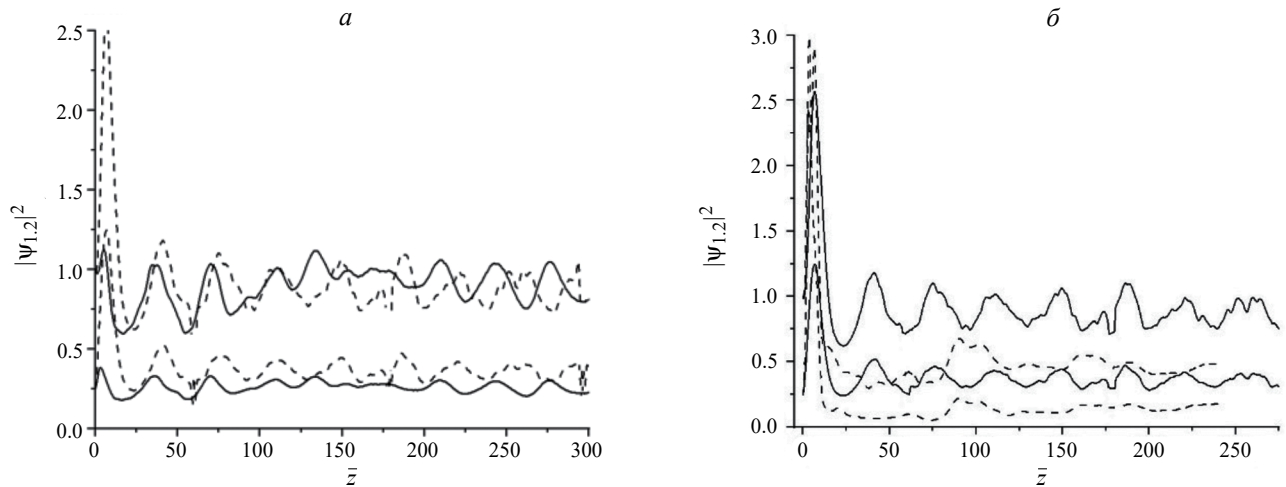


Рис. 4. Зависимости пиковых интенсивностей сигнала ($N=5$) на основной и удвоенной частотах $|\Psi_{1,2}|^2$ от продольной координаты \bar{z} при наличии кубической нелинейности (а); $D_{\beta 1} = -0.1$, $D_{\beta 2} = -0.2$, $D_{c1} = 0.1$, $D_{c2} = 0.02$, $D_{b1} = 0.2$, $D_{b2} = 0.1$, $\delta = \Delta k = 0.1$, $D_{11} = 0.1$ (пунктир), $D_{11} = 0$ (сплошные). Зависимости пиковых интенсивностей сигнала ($N=5$) на основной и удвоенной частотах $|\Psi_{1,2}|^2$ от продольной координаты \bar{z} при наличии кубической нелинейности (б), $D_{\beta 1} = -0.1$, $D_{\beta 2} = -0.2$, $D_{c1} = 0.1$, $D_{c2} = 0.02$, $D_{b1} = 0.2$, $D_{b2} = 0.1$, $\delta = \Delta k = 0.1$, $D_{11} = 0.25$ (пунктир), $D_{11} = 0.15$ (сплошные).

Используя приведенные выше оценки характерных интенсивностей для кристалла ниобата лития, коэффициенту $D_{11} = 0.5$ на частоте $\omega \sim 10^{15}$ Гц соответствует интенсивность $I \approx 10^{11} - 10^{12}$ Вт/см², а нелинейные длины второго и третьего порядков $l_{n12} \approx l_{n13}$ принимают значения нескольких десятков микрометров. Таким образом при столь высоких интенсивностях по причине наличия сильной само-компресии устойчивость малопериодных световых пуль нарушается.

ЗАКЛЮЧЕНИЕ

Анализ малопериодных параметрических световых пуль требует учета совместного влияния дифракции и дисперсии высшего порядка, квадратичной, а также зачастую и кубической нелинейностей. Для решения этой задачи была исследована система связанных квазиоптических уравнений. Мы демонстрируем, что формирование световых пуль остается возможным в определенном диапазоне расстроек фазовых и групповых скоростей, а также при наличии

кубической нелинейности. Для кристалла ниобата лития проведена оценка характерных нелинейных и дисперсионных длин, а также длительности и интенсивности импульса.

СПИСОК ЛИТЕРАТУРЫ

1. Skryabin D.V., Firth W.J. // Opt. Commun. 1998. V. 148. P. 79.
2. Кошкин К.В., Сазонов С.В., Калинович А.А., Комиссарова М.В. // Изв РАН. Сер. физ. 2024. Т. 88. № 1. С. 68; Koshkin K.V., Sazonov S.V., Kalinovich A.A., Komissarova M.V. // Bull. Russ. Acad. Sci. Phys. 2024. V. 88. No. 1. P. 56
3. Malomed B.A., Drummond P., He H. et al. // Phys. Rev. E. 1997. V. 56. P. 4725.
4. Sazonov S.V., Kalinovich A.A., Komissarova M.V., Zakharova I.G. // Phys. Rev. A. 2019. V. 100. Art. No. 033835.
5. Liu X., Beckwitt K., Wise F. // Phys. Rev. E. 2000. V. 62. P. 1328.
6. Liu X., Qian L., Wise F. // Phys. Rev. Lett. 1999. V. 82. No. 2. P. 83.
7. Комиссарова М.В., Сухоруков А.П. // Изв РАН. Сер. физ. 1992. Т. 56. № 12. С. 189; Komissarova M.V., Sukhorukov A.P. // Bull. Russ. Acad. Sci. Phys. 1992. V. 56. No. 12. P. 1995.
8. Šuminas R., Tamošauskas G., Valiulis G., Dubietis A. // Opt. Letters. 2016. V. 41. No. 9. P. 2097.
9. Кившарь Ю.С., Агравал Г.П. Оптические солитоны: от волоконных световодов к фотонным кристаллам. М.: Физматлит, 2005; Kivshar Y.S., Agrawal G.P. Optical solitons: from fibers to photonic crystals. N.Y.: Academic Press, 2005.
10. Trofimov V.A., Stepanenko S., Razgulin A. // PLoS ONE. 2019. V. 14. No. 12. Art. No. e0226119.
11. Nikogosyan D.N. // Nonlinear optical crystals: a complete survey. Springer Science+Business Media Inc., 2005.

Few-cycle two-frequency light bullets with detuning of phase and group velocities

А. А. Калинович¹, К. В. Кошкин^{1,*}, М. В. Комиссарова¹

¹Lomonosov Moscow State University, Moscow, 191991 Russia

*e-mail: koshkin.kv19@physics.msu.ru

Using numerical modeling, the possibility of forming (2D+1) short-period (3—5 oscillations under the envelope) light bullets in non-centrosymmetric media with the second harmonic at the presence of phase and group velocities mismatches is shown. It is demonstrated that cubic nonlinearity does not prevent the formation of space-time solitons only up to certain intensity values.

Keywords: few-cycle, light bullet, soliton.